

Universidade de Brasília  
Instituto de Ciências Exatas  
Departamento de Ciência da Computação

117536 - Projeto e Análise de Algoritmos  
Turma: B

## Relatório sobre Complexidade do Bubblesort

Camila F. T. Pontes - 15/0156120  
Diogo C. Ferreira - 11/0027931

6 de dezembro de 2019

### 1 Introdução

O problema de ordenação de sequências numéricas surge frequentemente em aplicações computacionais. Este problema pode ser definido formalmente da seguinte maneira [1]:

- **Entrada:** uma sequência de  $n$  números,  $a_1, a_2, \dots, a_n$
- **Saída:** uma permutação (reordenação) da sequência de entrada,  $a'_1, a'_2, \dots, a'_n$  tal que  $a'_1 \leq a'_2 \leq \dots \leq a'_n$

Existem diversos algoritmos de ordenação que resolvem o problema apresentado acima, *e.g.* *insertion sort*, *selection sort*, *merge sort*, *quicksort*, dentre outros. Neste trabalho, vamos analisar um dos algoritmos de ordenação

mais simples, o *bubblesort*. A ideia geral do *bubblesort* é percorrer diversas vezes o vetor de entrada e, a cada passagem, mover para o final da porção ainda não ordenada o maior elemento. Uma implementação recursiva desse algoritmo é apresentada a seguir (Algoritmo 1).

---

**Algorithm 1** Implementação recursiva do *bubblesort*

---

```

1: function BUBBLESORT(int array  $A$ , int  $n$ )
2:   if  $n = 1$  then
3:     return
4:   end if
5:   for  $i \leftarrow 0$  to  $n - 1$  do
6:     if  $A[i] > A[i + 1]$  then
7:       swap( $A[i]$ ,  $A[i + 1]$ )
8:     end if
9:   end for
10:  bubblesort( $A, n - 1$ )
11: end function

```

---

Uma das formas de comparar o desempenho do *bubblesort* com o desempenho de outros algoritmos de ordenação é através de uma análise de complexidade. A complexidade do *bubblesort* é de ordem quadrática ( $O(n^2)$ ), *i.e.*, no pior caso, são feitas  $n^2$  trocas durante a ordenação, onde  $n$  é o número de elementos do vetor de entrada. Neste trabalho, um assistente de prova será utilizado para provar a complexidade do *bubblesort*. A prova será realizada utilizando o *Prototype Verification System* (PVS) [2].

Os principais objetivos deste trabalho são:

- Implementar uma versão recursiva do *bubblesort* com um contador para o número de trocas realizadas durante a ordenação;
- Provar a complexidade assintótica do *bubblesort* utilizando o PVS.

## 2 Apresentação do Problema

O problema em questão consiste na análise da complexidade assintótica do algoritmo Bubblesort. A resolução proposta foi decomposta em três partes:

na elaboração de funções auxiliares que possibilitem a realização da análise; na elaboração e prova de lemas que dizem respeito a análise da complexidade do algoritmo; e por fim, na elaboração e prova de lemas que garantam a equivalência entre as funções auxiliares e as funções originalmente implementadas.

## 2.1 Funções auxiliares

Para a realização da análise assintótica do Bubblesort, inicialmente foram definidas três funções auxiliares com o objetivo de rastrear as contagens do número total de comparações realizadas pelo algoritmo após retornar a lista ordenada.

- **bubbling\_count**: recebe uma lista  $l$ , um natural  $n$  (equivalentes aos parâmetros da função **bubbling** original) e um contador  $count$ , que é incrementando quando alguma comparação for realizada. Seu valor de retorno é o par  $(l, count)$  com a lista e o contador devidamente atualizados.
- **bubblesort\_aux\_count**: recebe uma lista  $l$ , um natural  $n$  (equivalentes aos parâmetros da função **bubblesort\_aux** original) e um contador  $count$ , que é passado para a função **bubbling\_count** chamada internamente. Seu valor de retorno é o par  $(l, count)$  com a lista e o contador devidamente atualizados.
- **bubblesort\_count**: recebe uma lista  $l$ , um natural  $n$ , equivalentes aos parâmetros da função **bubblesort** original. Ela chama **bubblesort\_aux\_count** da mesma forma que **bubblesort** chama **bubblesort\_aux**, mas com o parâmetro do contador iniciando em 0. Seu valor de retorno é o par  $(l, count)$  com a lista ordenada e o contador atualizados com o número total de comparações realizadas pelo algoritmo.

## 2.2 Lemas

Como o objetivo é a análise da complexidade assintótica do algoritmo Bubblesort, dividimos a análise com base nas funções que compõem a implementação. Para cada uma das funções auxiliares elaboramos ao menos dois lemas: um para analisar seu comportamento assintótico e um segundo para garantir sua equivalência com a função correspondente original.

Lemas utilizados na prova da complexidade de `bubbling_count`:

1. `bubbling_counts_n`: afirma que `bubbling_count` realiza exatamente  $n$  comparações, onde  $n$  é o tamanho da lista de entrada, e que, portanto, sua complexidade é linear
2. `bubbling_equiv`: afirma que `bubbling` e `bubbling_count` são equivalentes
3. `bubbling_length`: afirma que a função `bubbling_count` não altera o tamanho da lista de entrada

Lemas utilizados na prova da complexidade de `bubblesort_aux_count`:

4. `bubaux_counts_n2`: afirma que `bubblesort_aux_count` realiza exatamente  $n(n+1)/2$  comparações, onde  $n$  é o tamanho da lista de entrada, e que, portanto, sua complexidade é quadrática
5. `bubblesort_aux_equiv`: afirma que `bubblesort_aux` e `bubblesort_aux_count` são equivalentes

Lemas utilizados na prova da complexidade de `bubblesort_count`:

6. `bubblesort_counts_n2`: afirma que `bubblesort_count` realiza exatamente  $n(n-1)/2$  comparações, onde  $n$  é o tamanho da lista de entrada, e que, portanto, sua complexidade é quadrática
7. `bubblesort_equiv`: afirma que `bubblesort` e `bubblesort_count` são equivalentes

## 2.3 Análise assintótica

As provas podem ser verificadas por completo através do PVS a partir dos arquivos que acompanham este projeto. O arquivo `bubblesort2.pvs` contém a implementação das funções originais fornecidas pelo professor da disciplina, bem como a implementação das funções auxiliares e dos lemas elaborados pelo grupo. Apresentaremos a seguir um detalhamento dos pontos que consideramos fundamentais na realização das provas. Adotaremos a seguinte

notação para as fórmulas nesta Seção: se  $l$  é uma lista,  $|l|$  indica o seu comprimento. O  $i$ -ésimo elemento de  $l$  é dado por  $l_i$  e uma lista  $l_i : l'_i$  possui o elemento  $l_i$  na cabeça e a lista  $l'_i$  na cauda. Analogamente,  $P_i$  denota o  $i$ -ésimo elemento de um par ordenado  $P = (a, b)$  e  $f(x)_i$  o  $i$ -ésimo elemento de uma função  $f(x) = (a, b)$  que retorna um par.

### 2.3.1 *Bubbling*

**Lema 1: `bubbling_counts_n`:** seja  $l$  uma lista de números naturais, e lembrando que `bubbling_count` é uma função que retorna um par  $(l, c)$ , onde  $c$  denota o número de comparações realizadas ao todo na chamada

$$\forall_{l,n,c} \text{bubbling\_count}(l, c, n)_2 = c + n \quad , n < |l|, c \in \mathbb{N}$$

**Estratégia da prova:** indução forte sobre  $|l|$ . A função `bubbling_count` faz chamadas recursivas sobre  $l$ , e seria correspondente às linhas 5 a 9 do Algoritmo 1. Cada chamada é feita sobre uma lista menor mas a lista não é dividida exatamente conforme a definição recursiva de  $l$ . Portanto precisamos de uma medida alternativa que seja relacionada com a estrutura sobre a qual queremos realizar a indução (Figura 1).

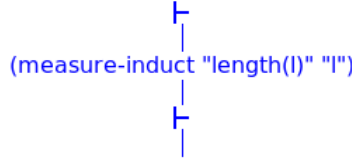


Figura 1: A prova do lema de complexidade de `bubbling_count` foi realizada por indução forte sobre  $|l|$ .

Após a expansão da definição da definição de `bubbling_count`, precisamos provar 3 casos: o caso em que  $n = 0$  (trivial, pois  $c = c + n = c + 0 = c$ ), o caso em que  $l_i > l_{i+1}$  e o caso em que  $l_i \leq l_{i+1}$ . A prova destes dois últimos casos é muito semelhante, e varia essencialmente em como a hipótese de indução (*h.i.*) será instanciada (Figura 2). No primeiro caso, a próxima chamada de `bubbling_count` será realizada sobre uma lista com a forma  $l_i : l_{i+2} : l'_{i+2}$ , portanto essa deve ser a instanciação da *h.i.*.

```

{-1}  car(x) > car(cdr(x))
[-2]  (H.I.)
      |-----
{1}   1 + bubbling_count(cons(car(x), cdr(cdr(x))), c, n - 1)'2 = c + n
{2}   n = 0

```

Rule? (inst -2 "cons(car(x), cdr(cdr(x)))")

No segundo caso, a próxima chamada `bubbling_count` será propriamente sobre a cauda de  $l_i$ , portanto a *h.i.* é instanciada como  $l'_i$ :

```

[-1]  (H.I.)
      |-----
{1}   car(x) > car(cdr(x))
{2}   1 + bubbling_count(cdr(x), c, n - 1)'2 = c + n
{3}   n = 0

```

Rule? (inst -1 "cdr(x)")

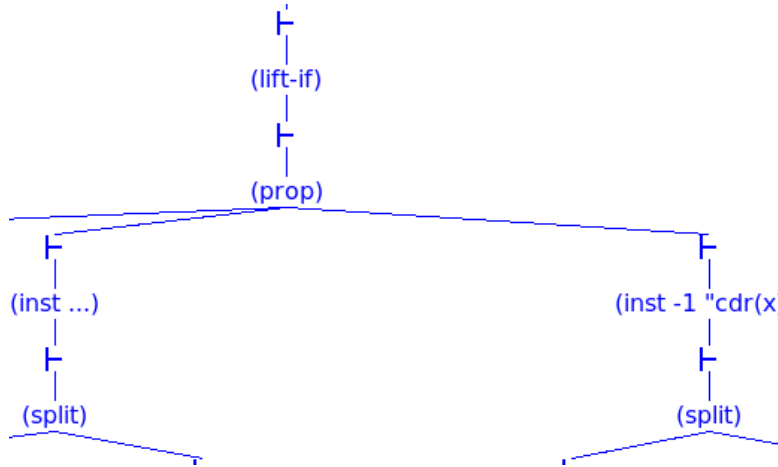


Figura 2: Casos da prova após a expansão da definição de `bubbling_count`. O ramo omitido mais à esquerda é o caso base.

O restante da prova consiste em algumas instanciações adicionais de  $c$  e/ou  $n$ , na expansão da definição de `length` e inferências sobre o tipo de

$n$ . Felizmente existe a restrição de que  $n < |l|$ , e o comando `(typepred n)` realiza essa inferência. O uso de `(grind)` após `(typepred n)` foi basicamente um atalho para `(expand list2finseq)` seguido de `(assert)`, ou de alguma resolução dos casos distintos de `length`, que surge a partir da definição de `list2finseq` (Figura 3).

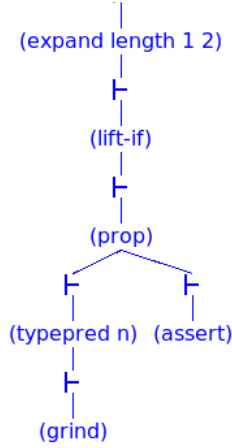


Figura 3: Para finalizar os ramos, foi necessário expandir a definição de `length` e realizar uma inferência sobre o tipo de  $n$ .

Dizemos então que `bubbling_count` tem complexidade linear,  $O(n)$ . Como  $n < |l|$  por definição, então a função também é  $O(|l|)$ . Resta então mostrar que o mesmo se aplica a função original, `bubbling`, e isto foi feito mostrando que `bubbling` e `bubbling_count` são equivalentes:

**Lema 2: `bubbling_equiv`:**

$$\forall_{l,n,c} \text{bubbling}(l, n)_1 = \text{bubbling\_count}(l, c, n)_1 \quad , n < |l|, c \in \mathbb{N}$$

**Estratégia da prova:** indução forte sobre  $|l|$ , pelo mesmo motivo que no lema 1 já que a prova se refere à mesma função, `bubbling_count`, que divide a lista da mesma forma que `bubbling`. A diferença principal entre prova deste lema e a do lema 1 é que é necessário expandir as definições de ambas as funções, `bubbling` e `bubbling_count` antes de instanciar a *h.i.*. As instanciações da *h.i.* foram realizadas como na prova do lema 1 (Figura 4).

Figura 4: A prova do lema de equivalência entre `bubbling` e `bubbling_count` requer a expansão de ambas as funções, mas segue de forma semelhante ao lema de complexidade.

**Lema 3: `bubbling_length`:**

$$\forall_{l,n,c} |\text{bubbling\_count}(l, c, n)_1| = |l| \quad , n < |l|, c \in \mathbb{N}$$

**Estratégia da prova:** indução forte sobre  $|l|$ , pelo mesmo motivo que no lema 1 já que a prova se refere à mesma função, `bubbling_count`. Este lema não está diretamente relacionado com a análise da complexidade ou com a equivalência entre as funções. Contudo, ele foi utilizado em alguns pontos das provas subsequentes e, por se tratar de um lema relativamente longo de ser provado, decidimos enunciá-lo separadamente. O objetivo deste lema é mostrar que `bubbling_count` retorna uma lista do mesmo tamanho que a lista de entrada, e a prova também consiste em mostrar que isso é verdade para cada um dos casos da função `bubbling_count`.

### 2.3.2 *Bubblesort\_aux*

**Lema 4: `bubaux_counts_n2`:**

$$\forall_{l,n,c} \text{bubblesort\_aux\_count}(l, c, n)_2 = c + \frac{n^2 + n}{2} \quad , n < |l|, c \in \mathbb{N}$$

**Estratégia da prova:** indução forte sobre  $|l|+n$ . A função `bubblesort_aux_count` é uma função que faz chamadas recursivas sobre  $l$ , e seria correspondente ao próprio Algoritmo 1 menos as linhas 5 a 9 (que correspondem melhor com a função `bubbling`). A principal questão aqui é que  $|l|$  se mantém constante ao longo das chamadas de `bubblesort_aux_count`, portanto uma indução sobre  $|l|$  não geraria uma *h.i.* que pudesse ser instanciada de maneira apropriada. Uma segunda opção seria realizar a indução sobre  $n$ , uma vez que ele é o parâmetro que varia ao longo das chamadas recursivas da função. No entanto, como  $n$  é dependente de  $|l|$ , foi necessário que a indução fosse realizada sobre ambos os parâmetros simultaneamente, daí a escolha de  $|l| + n$ :

```
|-----
{1}  FORALL (l: list[nat], n: below[list2finseq(l)'length]) (c: nat):
```



$$\text{bubblesort\_aux\_count}(l, c, n)'2 = c + ((n^2 + n) / 2)$$

Rule? (measure-induct "length(l) + n" ("l" "n"))

A expansão da definição da definição de **bubbling\_count** após a escolha da estratégia de prova, resulta em dois casos: o caso base em que  $n = 0$  é trivial, pois consiste em provar que  $c = c + \frac{n^2+n}{2}$ . No segundo caso, precisamos provar o seguinte:

```
[-1] (H.I.)
|-----
{1}  x_2 = 0
{2}  bubblesort_aux_count(bubbling_count(x_1, c, x_2)'1,
                           bubbling_count(x_1, c, x_2)'2, x_2 - 1)'2
    = ((x_2 ^ 2 + x_2) / 2) + c
```

Rule? (inst -1 "bubbling\_count(x\_1, c, x\_2)'1" "x\_2-1")

O que permite a instanciação da hipótese de indução da seguinte forma:

$$\begin{aligned} \text{bubblesort\_aux\_count}(l, c, n)_2 &= c + ((n^2 + n)/2) && (h.i.) \\ l &= \text{bubbling\_count}(x_1, c, x_2)_1 \\ c &= c \\ n &= x_2 - 1 \end{aligned}$$

A partir deste ponto, a prova novamente se ramifica em duas partes devido a estratégias ser indução sobre  $|l| + n$ . No primeiro ramo, que decorre do do parâmetro  $n$ , podemos chamar o lema 1 para mostrar que as chamadas de **bubbling\_count** incrementam  $n$  de forma linear (Figura 5, ramo da esquerda). O segundo ramo decorre consiste em garantir que estamos instanciando a *h.i.* com valores estritamente menores do que aqueles no conseqüente, e prova disso utiliza o resultado do lema 3 que mostra que  $|\text{bubbling\_count}(l, c, n)| + n - 1 < |l| + n$ , com os valores devidamente instanciados (Figura 5, ramo da direita).

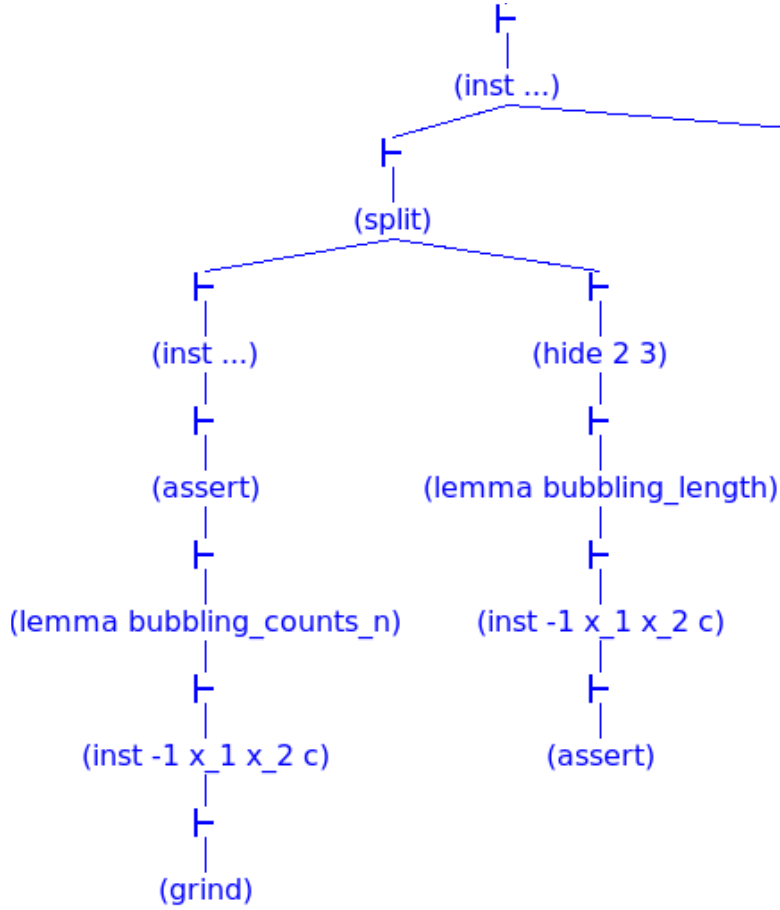


Figura 5: Para finalizar análise da complexidade de `bubblesort_aux` usamos os lemas 1 e 3 provados anteriormente. O ramo oculto ainda mais à direita se refere ao caso base.

Com isto, temos que a função `bubblesort_aux_count` realiza  $\frac{n^2+n}{2}$  comparações e portanto é  $O(n)$ . Da mesma forma que com `bubbling`, pela restrição de  $n < |l|$ , então também é  $O(|l|)$ . Aqui ainda precisamos mostrar a equivalência entre os `bubblesort_aux` com e sem contador, conforme realizado a partir do lema a seguir.

**Lema 5: `bubblesort_aux_equiv`:**

$$\forall_{l,n,c} \text{bubblesort\_aux}(l, c, n)_1 = \text{bubblesort\_aux\_count}(l, c, n)_1 \quad , n < |l|, c \in \mathbb{N}$$

**Estratégia da prova:** indução forte sobre  $|l| + n$ , pela mesma razão que no lema 4, já também se refere à função `bubblesort_aux_count` e `bubblesort_aux` apresenta as mesmas características.

A prova deste lema também requer a expansão da definição de ambas as funções, `bubblesort_aux_count` e `bubblesort_aux`. Já que essas elas, chamam suas respectivas funções `bubbling`, podemos instanciar a *h.i.com* a chamada interna de `bubbling` de cada uma delas, e completar a prova a partir do lema 2. Da mesma forma que no lema de complexidade 4, esta prova também precisa garantir que a instanciação da *h.i.* foi realizada de maneira adequada, o que também pode ser mostrado usando o resultado do lema 3 sobre o tamanho de  $l$  (Figura 6).

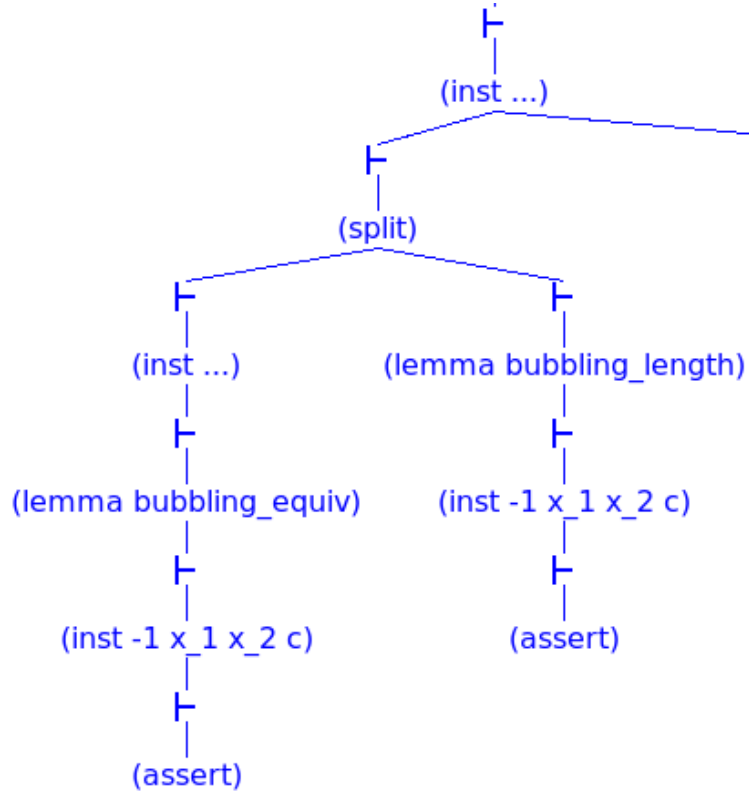


Figura 6: Para finalizar análise de equivalência `bubblesort_aux` entre `bubblesort_aux_count` usamos os lemas 2 e 3 provados anteriormente. O ramo oculto mais à direita se refere ao caso base.

### 2.3.3 *Bubblesort*

**Lema 6:** `bubblesort_counts_n2`:

$$\forall_l \text{bubblesort\_count}(l)_2 = \frac{|l|^2 - |l|}{2}$$

**Estratégia da prova:** direta, a partir da aplicação do lema 4. O objetivo da função `bubblesort_count` é encapsular `bubblesort_aux_count`, garantindo que esta seja chamada com os parâmetros corretos. A prova deste lema consiste na expansão da definição de `bubblesort_count` após instanciar  $l$  para uma lista qualquer. Nos deparamos então com os dois casos presentes na definição de `bubblesort_count`: o primeiro caso, em que a lista é vazia, é trivial, pois  $\frac{|l|^2 - |l|}{2} = 0$ . No segundo caso, podemos evocar o lema 4 e instanciá-lo adequadamente pois sabemos exatamente os valores de  $c$  e  $n$  que serão passados para `bubblesort_aux_count`, e como eles se relacionam com  $|l|$ . O comando (`grind`) utilizado nos ramos desta prova foram utilizados para realizar as expansões da definição de `length` e fazer as simplificações algébricas apropriadas (Figura 7).

**Lema 7:** `bubblesort_equiv`:

$$\forall_l \text{bubblesort}(l)_1 = \text{bubblesort\_count}(l)_1 = \frac{|l|^2 - |l|}{2}$$

**Estratégia da prova:** direta, a partir da aplicação do lema 5. De forma semelhante ao lema anterior, a prova foi feita a partir da aplicação do lema 5. A expansão das definições de ambas `bubblesort` e `bubblesort_count` revela a chamada das funções `bubblesort_aux` e `bubblesort_aux_count` e a igualdade é estabelecida por meio da instanciação do lema. Novamente, o comando (`grind`) foi utilizado para fazer as simplificações algébricas apropriadas e completar a prova (Figura 8).

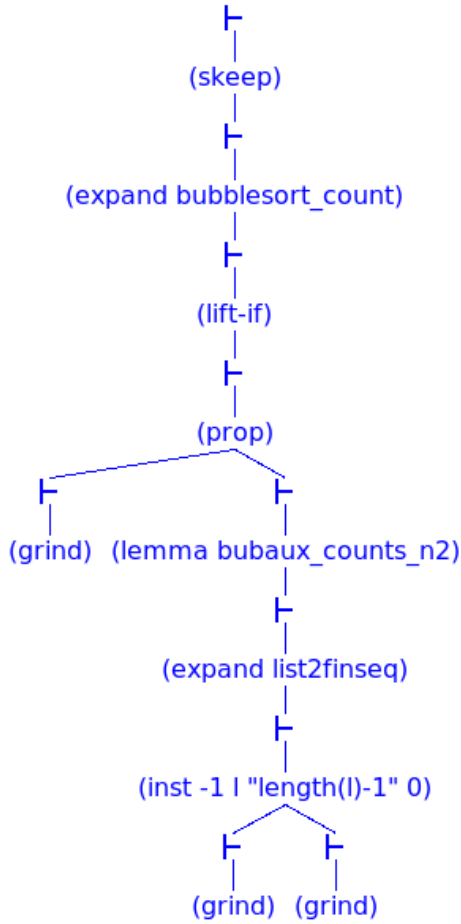


Figura 7: A prova do lema de complexidade do `bubblesort_count` é direta a partir da aplicação do lema 4, pois sabemos os valores exatos de  $n$  e  $c$ , para uma dada lista  $l$ , que serão passados para `bubblesort_aux`.

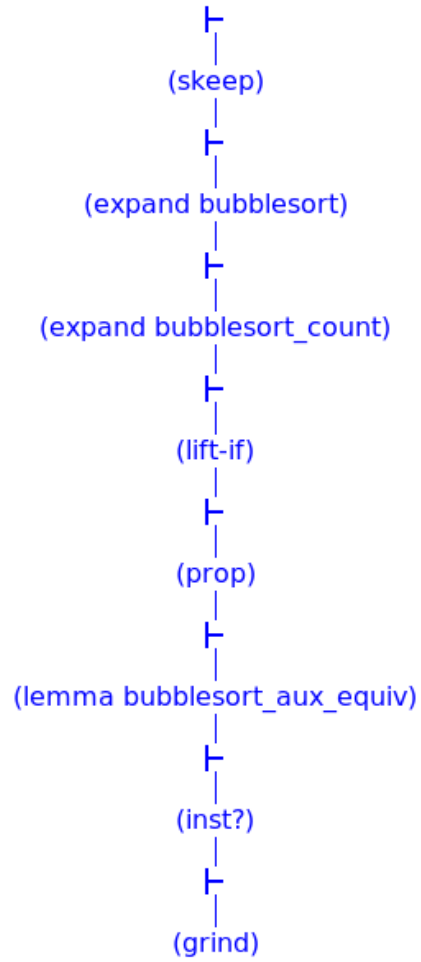


Figura 8: A prova de equivalência entre `bubblesort` e `bubblesort_count` é direta a partir da aplicação do lema 5.

## 2.4 TCCs

Ao final das provas dos lemas elaborados ainda restaram alguns TCCs (*Type-Correctness Conditions*) que não puderam ser verificados automaticamente pelo PVS. Isto foi parcialmente resolvido após uma mudança na ordem em que os lemas foram enunciados no arquivo de entrada. Faltou, contudo, realizar a prova de TCCs relacionados com a função `bubbling`, e estes precisaram ser provados manualmente, pois necessitaram de uma prova um pouco mais elaborada, embora ainda relativamente curta. A título de exemplo, apresentaremos o `bubbling_TCC3`, mas os outros consistiam de sequentes semelhantes relacionados ao comprimento de partes das listas.

```
|-----
{1}  FORALL (l: list[nat], (n: below[list2finseq[nat](l)'length]]):
      car(l) > car(cdr(l)) AND NOT n = 0 IMPLIES
      n - 1 >= 0 AND n - 1 < list2finseq[nat]
      (cons[nat](car[nat](l), cdr[nat](cdr[nat](l))))'length
```

A prova deste sequeute foi direta e se deu principalmente pela expansão de `list2finseq`, e posteriormente a manipulação das definições de `length` que surgiram (Figura 9).

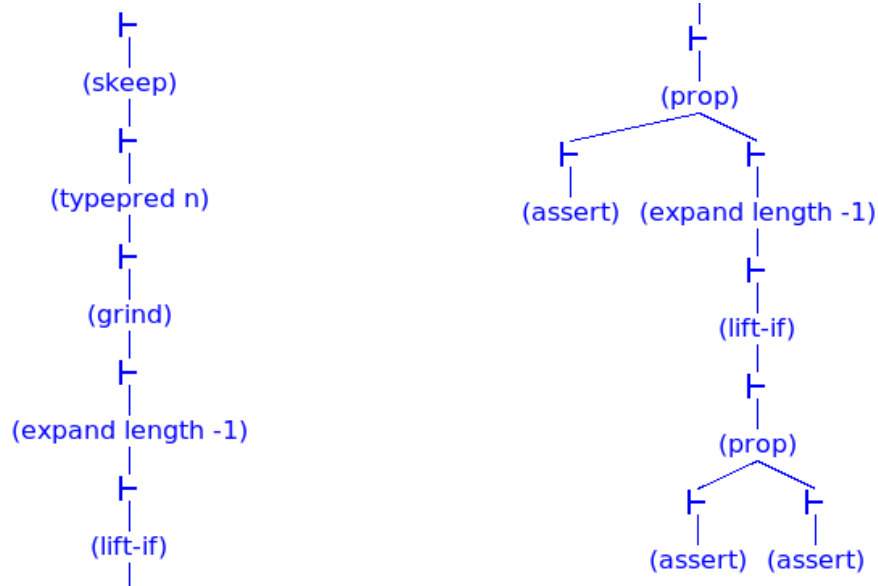


Figura 9: Prova do TCC `bubbling_TCC3` que não pode ser completado automaticamente pelo PVS.

### 3 Conclusão

Neste trabalho, foi realizada uma prova assistida da complexidade quadrática do algoritmo de ordenação *bubblesort* utilizando o PVS. A prova foi realizada analisando uma contagem do número de comparações realizadas por uma implementação recursiva do algoritmo *bubblesort*, através da função implementada `bubblesort_count`, que depende da prova de complexidade das funções internas que são chamadas por ela, *bubblesort\_aux* e *bubbling*.

Notamos que, embora as provas destas duas seja em função do parâmetro  $n$ , ao serem chamadas por *bubblesort* sabemos exatamente o valor inicial de  $n$  que será passado para elas como argumento. Por este motivo, foi possível concluir a prova final da complexidade de *bubblesort* em função do comprimento da lista de entrada,  $|l|$ .

Por fim, foi mostrado também que a implementação do *bubblesort* com o contador é equivalente à sua versão com adição do contador do número de trocas. Sendo assim, concluímos que o algoritmo *bubblesort* possui complexidade assintótica  $\theta(|l|^2)$ , uma vez que obtivemos que ele realiza exatamente  $\frac{|l|^2 - |l|}{2}$  operações de comparação.

## Referências

- [1] Thomas H Cormen, Charles E Leiserson, Ronald L Rivest, and Clifford Stein. *Introduction to algorithms*. MIT press, 2009.
- [2] Sam Owre, John M Rushby, and Natarajan Shankar. Pvs: A prototype verification system. In *International Conference on Automated Deduction*, pages 748–752. Springer, 1992.